



CANADA

COMMISSION GÉOLOGIQUE DU CANADA

SÉRIE DES CARTES GÉOPHYSIQUES  
COMPOSANTE RÉSIDUELLE DU CHAMP MAGNÉTIQUE TOTAL

A quantitative gamma-ray spectrometric and aeromagnetic airborne geophysical survey of the Eastern Athabasca Basin, Saskatchewan, was completed by Gold Airborne Surveys. The survey was flown from June 9th to August 11th, 2009 using three Piper PA-31 Navajo aircrafts (C-GJBA, C-GJBB and C-GJBG). The nominal traverse and control line spacings were, respectively, 400 m and 2400 m, and the aircraft flew at a nominal terrain clearance of 125 m at an air speed between 200 and 270 km/h. The traverse lines were oriented 135° with orthogonal control lines. The flight path was recovered following post-flight differential corrections to raw data recorded by a Global Positioning System.

#### Gamma-ray Spectrometric Data

The airborne gamma-ray measurements were made with Radiation Solutions RS-500 gamma-ray spectrometers using fourteen 102 x 102 x 406 mm NaI (Tl) crystals. The main detector array consisted of twelve crystals (total volume 50.4 litres), shielded by the main array, were used to detect variations in background radiation caused by atmospheric radon. The two crystals (volume 8.4 litres), shielded by the main array, were used to detect variations in background radiation caused by atmospheric radon.

Potassium is measured directly from the 1460 keV gamma-ray photons emitted by K40, whereas uranium and thorium are measured indirectly from gamma-ray photons emitted by daughter products (B214 for uranium and T208 for thorium). Although these daughters are far down their respective decay chains, they are assumed to be in equilibrium with their parents; thus gamma-ray spectrometric measurements of uranium and thorium are referred to as equivalent uranium and equivalent thorium, i.e. e.U and e.Th. The energy windows used for the measurement of potassium, uranium and thorium are listed in Table 1.

Table 1 Gamma Ray Spectrometer Sensitivities for each aircraft

Corrected data were filtered and interpolated to a 100 m grid interval. The results of an airborne gamma-ray spectrometer survey represent the average surface concentrations that are influenced by varying amounts of cutcrop, overburden, vegetation cover, soil moisture and surface water. As a result the measured concentrations are usually lower than the actual bedrock concentrations. The total air absorbed dose in nanograys per hour was produced from measured counts between 400 and 2810 keV.

#### Magnetic Data

The magnetic field was sampled 10 times per second using a spin-beam cesium vapour magnetometer (sensitivity = 0.005 nT) rigidly mounted to the aircraft. Differences in magnetic values at the same location were removed by subtracting the mean value levelled over the entire survey area. The levelled values were then interpolated to a 100 m grid. The International Geomagnetic Reference Field (IGRF) defined at the average GPS height of 566 m for the 2009 survey was removed. Removal of the IGRF, representing the magnetic field of the Earth's core, produces a residual component related essentially to magnetizations within the Earth's crust.

The first vertical derivative of the magnetic field is the rate of change of the magnetic field in the vertical direction. Computation of the first vertical derivative removes long-wavelength zero-value contours with vertical contacts at high magnetic latitudes (Hood, 1965).

#### References/References

Hood, P.J. 1965. Gradient measurements in aeromagnetic surveying. *Geophysics*, 30, 891-902.

#### LEVÉ GÉOPHYSIQUE DE LA PARTIE EST DU BASSIN ATHABASCA, SASKATCHEWAN

Un levé géophysique aérien combinant l'acquisition de données quantitatives de spectrométrie gamma et de données magnétiques a été réalisé dans la partie est du bassin Athabasca, Saskatchewan, par la société Gold Airborne Surveys. Le levé a été effectué du 9 juillet au 11 août 2009, à bord de trois avions Piper PA-31 Navajo (C-GJBA, C-GJBB et C-GJBG). Les données ont été acquises au moyen d'un vol en zigzag avec une distance entre les lignes de 400 m et une distance entre les lignes de 2400 m, alors que l'altitude nominale de l'avion était de 125 m au-dessus du sol et que la vitesse était de 200 et 270 km/h. Les lignes de vol étaient orientées 135° et les lignes de vol étaient perpendiculaires. La trajectoire de vol a été restituée par l'application des corrections de décalage post-flot.

#### Données de spectrométrie gamma

Tous les mesures de rayonnement gamma ont été effectuées à l'aide d'un spectromètre gamma RS-500 utilisant quatorze cristaux de NaI (Tl) de 102 x 102 x 406 mm.

Le principal réseau de capteurs se compose de douze cristaux (volume total de 50.4 litres), protégé par le réseau principal, ont été utilisés pour déceler les variations de rayonnement naturel causées par le radon atmosphérique. Les deux cristaux (volume 8.4 litres), protégé par le réseau principal, ont été utilisés pour détecter les variations de rayonnement causées par le radon atmosphérique.

Le potassium est mesuré directement à partir des photons gamma de 1460 keV émis par le K40, tandis que l'uranium et le thorium sont mesurés indirectement à partir des photons gamma de 1460 keV émis par le B214 pour l'uranium et T208 pour le thorium. Bien que ces radionucléides soient dans leur chaîne respective de désintégration, sur lesquels ils sont en équilibre avec leur radionucléide père, ainsi, les mesures spectrométriques du rayonnement gamma de l'uranium et du thorium sont désignées comme des équivalents d'uranium et des équivalents de thorium, soit e.U et e.Th. Les plages d'énergie utilisées pour mesurer le potassium, l'uranium et le thorium sont indiquées dans le tableau 1.

Tous les mesures de rayonnement gamma ont été effectuées à l'aide d'un spectromètre gamma RS-500 utilisant quatorze cristaux de NaI (Tl) de 102 x 102 x 406 mm.

Le principal réseau de capteurs se compose de douze cristaux (volume total de 50.4 litres), protégé par le réseau principal, ont été utilisés pour déceler les variations de rayonnement naturel causées par le radon atmosphérique. Les deux cristaux (volume 8.4 litres), protégé par le réseau principal, ont été utilisés pour détecter les variations de rayonnement causées par le radon atmosphérique.

Le potassium est mesuré directement à partir des photons gamma de 1460 keV émis par le K40, tandis que l'uranium et le thorium sont mesurés indirectement à partir des photons gamma de 1460 keV émis par le B214 pour l'uranium et T208 pour le thorium. Bien que ces radionucléides soient dans leur chaîne respective de désintégration, sur lesquels ils sont en équilibre avec leur radionucléide père, ainsi, les mesures spectrométriques du rayonnement gamma de l'uranium et du thorium sont désignées comme des équivalents d'uranium et des équivalents de thorium, soit e.U et e.Th. Les plages d'énergie utilisées pour mesurer le potassium, l'uranium et le thorium sont indiquées dans le tableau 1.

Tableau 1. Sensibilités des spectromètres de chacun des avions.

Un filtre a été appliqué aux données corrigées, qui ont ensuite été interpolées suivant une grille à maille de 100 m. Les résultats d'un levé aérien de spectrométrie gamma représentent les concentrations moyennes à la surface, qui sont influencées par les étendues variables des affleurements, des mers-téraines, de la couverture végétale et de l'eau de surface. Par conséquent, les concentrations mesurées sont habituellement plus faibles que les concentrations réelles dans le substratum rocheux. Le débit total de la dose absorbée par l'air, en nanograys à l'heure, a été déterminé à partir des coups mesurés dans la plage de 400 à 2810 keV.

#### Données sur le champ magnétique

Le champ magnétique a été évalué à l'aide d'un magnétomètre à boussole à l'aide de deux capteurs de champ magnétique. Le deuxième capteur a également été utilisé pour déterminer la variation de la densité de champ magnétique.

Les différences de champ magnétique sont mesurées aux intersections des lignes de contrôle et des lignes de vol et sont corrigées pour tenir compte de la variation de la densité de champ magnétique.

Les coups ont été cumulés dans les plages décrites ci-dessous. Les coups obtenus à l'aide des capteurs de radon ont été enregistrés dans la plage de 1 660 à 1 880 keV et le rayonnement à des énergies supérieures à 3 000 keV a été enregistré dans la plage du rayonnement cosmique. Les coups enregistrés dans les plages ont été corrigés pour tenir compte de la variation de la densité de champ magnétique et de la variation de la température et de la pression. Les corrections pour la variation de la température et de la pression sont effectuées avant la conversion des concentrations équivalentes au sol du potassium, de l'uranium et du thorium, en utilisant des facteurs déterminés par une comparaison avec des résultats obtenus à partir de vues effectuées audessus d'une bande d'étalonnage à Danielson, Saskatchewan. Les facteurs déterminés pour le potassium, l'uranium et le thorium sont indiqués dans le tableau 1.

Tableau 1. Sensibilités des spectromètres de chacun des avions.

Un filtre a été appliqué aux données corrigées, qui ont ensuite été interpolées suivant une grille à maille de 100 m. Les résultats d'un levé aérien de spectrométrie gamma représentent les concentrations moyennes à la surface, qui sont influencées par les étendues variables des affleurements, des mers-téraines, de la couverture végétale et de l'eau de surface. Par conséquent, les concentrations mesurées sont habituellement plus faibles que les concentrations réelles dans le substratum rocheux. Le débit total de la dose absorbée par l'air, en nanograys à l'heure, a été déterminé à partir des coups mesurés dans la plage de 400 à 2810 keV.

#### Références/References

Hood, P.J. (1965). Gradient measurements in aeromagnetic surveying: *Geophysics*, v. 30, p. 891-902.

#### PLANIMETRIC SYMBOLS

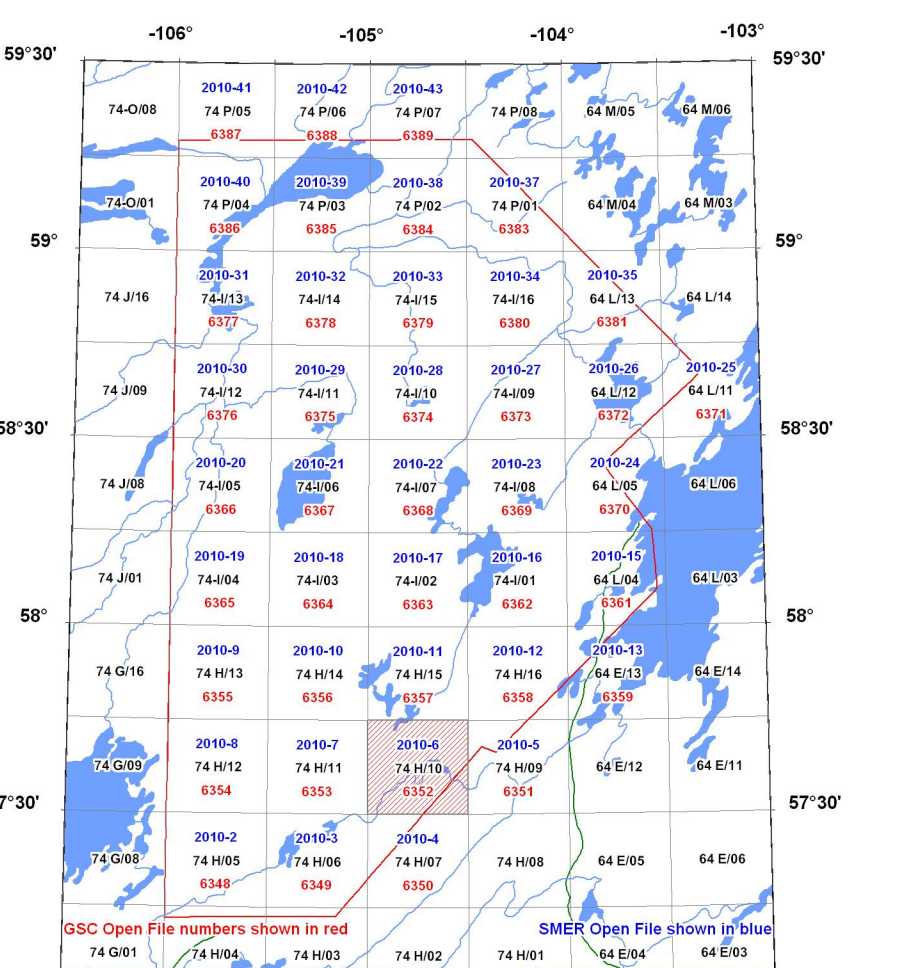
Drainage		Drainage
Highway		Autoroute
Flight line		Ligne de vol

#### SYMBOLES PLANIMÉTRIQUES

	ISOMAGNETIC LINES
	250m
	50m
	10m
	2m
	Magnetic Depression
	LIGNES ISOMAGNETIQUES
	250m
	60m
	12m
	2m
	Dépression magnétique

#### NATIONAL TOPOGRAPHIC SYSTEM REFERENCE AND GEOGRAPHICAL MAP INDEX

#### SYSTÈME NATIONAL DE RÉFÉRENCE CARTOGRAPHIQUE ET INDEX DES CARTES GÉOPHYSIQUES



#### MAP SHEET SUMMARY / SOMMAIRE DES FEUILLES

##### Sheet / Feuille

##### MAP / CARTE

##### Natural Air Absorbed Dose Rate

##### Taux d'absorption naturel des rayons gamma dans l'air

##### 2 Potassium

##### 3 Uranium

##### 4 Thorium

##### 5 Uranium / Thorium

##### 6 Uranium / Potassium

##### 7 Thorium / Potassium

##### 8 Ternary Radon/Thorium Map

##### Diagramme ternaire des radon/thorium

##### 9 Residual Total Magnetic Field

##### Composante résiduelle du champ magnétique total

##### 10 First Vertical Derivative of the Magnetic Field

##### Dérivée première verticale du champ magnétique

##### OPEN FILE

##### 2010-6

##### SASKATCHEWAN MINISTRY OF ENERGY AND RESOURCES

##### 2010

##### FEUILLET 9 DE 10

##### FEUILLET 9 DE 10

##### MAP SHEET NUMBER / NUMÉRO DE FEUILLE

##### 6352

##### GSC OPEN FILE NUMBER / NUMÉRO DE FEUILLE DE LA CGC

##### 6352

##### NTS 74 H/10 Keefe Lake / SNRC 74 H/10 Keefe Lake

##### 59°30' N / 106° W

##### 59°30' N / 106° W

##### 58°30' N / 106° W

##### 58°30' N / 106° W

##### 57°30' N / 106° W

##### 57°30' N / 106° W

##### 56°30' N / 106° W

##### 56°30' N / 106° W

##### 55°30' N / 106° W

##### 55°30' N / 106° W

##### 54°30' N / 106° W

##### 54°30' N / 106° W

##### 53°30' N / 106° W

##### 53°30' N / 106° W

##### 52°30' N / 106° W

##### 52°30' N / 106° W

##### 51°30' N / 106° W

##### 51°30' N / 106° W

##### 50°30' N / 106° W